

Approximation de Schiff appliquée au calcul des propriétés radiatives de micro-organismes photosynthétiques et résolution par la méthode de Monte Carlo

Julien CHARON^{1,2,3}, Stéphane BLANCO⁴, Cyril CALIOT³, Jean-François CORNET², Jérémie DAUCHET², Mouna EL HAFI¹, Richard FOURNIER⁴, Sebastian WEITZ^{2,4}

¹ RAPSODEE, UMR CNRS 5302 - Mines Albi - Albi

² Institut Pascal, UMR CNRS 6602 - Clermont-Ferrand

³ PROMES, UPR CNRS 8521 - Odeillo

⁴ LAPLACE, UMR CNRS 5213 - Toulouse

Institut Fresnel, UMR CNRS 7249 - Marseille



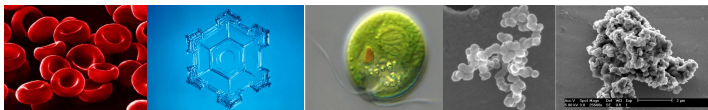
5^{ème} Journées d'Etudes en Rayonnement Thermique, ISAE-ENSMA, Poitiers

26 - 27 Novembre 2015

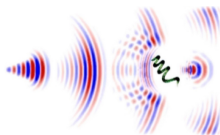


Obtention des propriétés radiatives : une difficulté

- Obtention des propriétés radiatives de particules non sphériques et de paramètre de taille intermédiaire est une difficulté récurrente
- Divers domaines sont concernés : océanographie, astrophysique, biomédical, atmosphérique, ingénierie de la photosynthèse

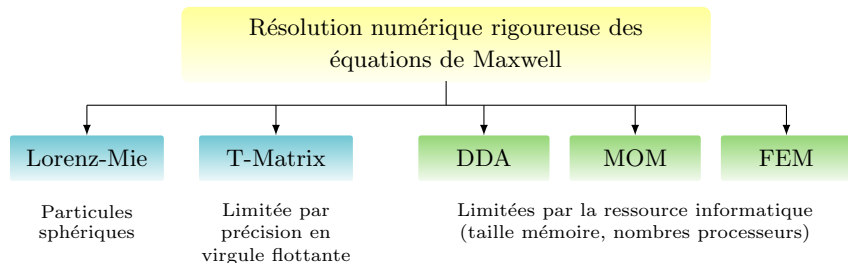


- Nécessité de résoudre les équations de Maxwell et plus particulièrement le problème de diffusion d'une onde par une particule



Vers une résolution des équations de Maxwell

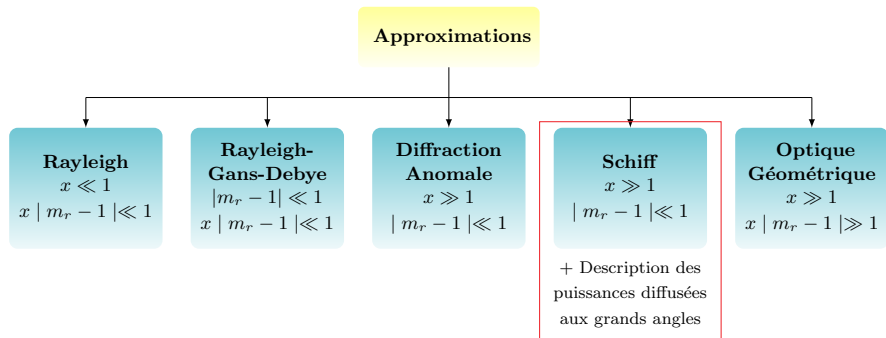
Méthodes de résolution rigoureuse



- En pratique, implémentation numérique limitée pour traiter des particules de grande taille et de géométrie complexe parfois très allongée
- Forte activité de recherche pour améliorer ces méthodes rigoureuses
- Nécessité d'utiliser des modèles approchés de l'interaction onde-particule

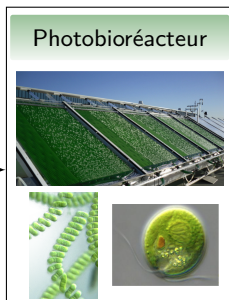
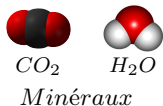
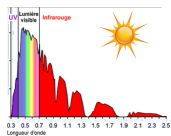
Vers une résolution des équations de Maxwell

Approximations du modèle électromagnétique d'interaction onde-particule



- Approximation DA et/ou Schiff présente un intérêt pour toutes les communautés traitant de "particules ténues" (*soft particles*) (astrophysique, atmosphérique,...) et en particulier celle des photobioréacteurs

Ingénierie de la photosynthèse : une alternative possible aux ressources fossiles

 O_2 

Biomasse



Bioraffinerie

vecteurs énergétiques
matière première pour la chimie
molécules à hautes valeurs ajoutées

Nécessité de développer des procédés innovants et efficaces atteignant au minimum un rendement thermodynamique de 10%

Contexte scientifique : Optimisation du procédé

- Procédés limités par le transfert de rayonnement
- Optimisation du procédé implique de connaître avec précision le champs de rayonnement
- Nécessité de résoudre l'Equation de Transfert Radiatif au sein du volume de culture

$$\vec{\omega} \cdot \vec{\nabla}_{\vec{r}} L_{\nu}(\vec{r}, \vec{\omega}) = -C \sigma_{ext} L_{\nu}(\vec{r}, \vec{\omega}) + C \sigma_{sca} \int_{4\pi} d\vec{\omega}' L_{\nu}(\vec{r}, \vec{\omega}') p_{\Omega, \nu}(\omega | \omega')$$

σ_{sca} : Section efficace de diffusion

L_{ν} : Luminance

σ_{ext} : Section efficace d'extinction

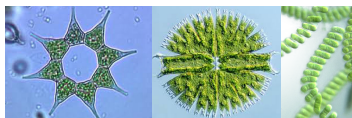
C : Concentration de la suspension de micro-organismes

$p_{\Omega, \nu}$: Fonction de phase

- Propriétés radiatives des micro-organismes indispensables à la résolution de l'ETR
- Approximation de Schiff adaptée à l'obtention de ces propriétés radiatives

Vers une résolution de l'approximation de Schiff

- Approximation de Schiff adaptée pour l'étude des micro-organismes
- Modèle électromagnétique simplifié mais résolution numérique non évidente :
 - Fonction de phase aux grands angles pour des particules de formes simples
 - Particules avec des géométries complexes



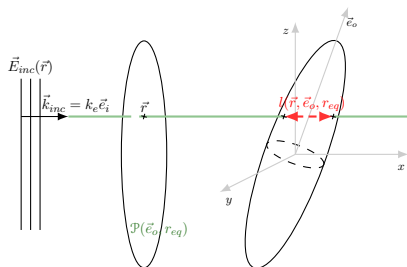
- Dans un premier temps, développer une méthodologie de résolution pour des particules à géométries simples (cylindre, sphéroïde)
- Résolution de l'approximation de Schiff par la méthode de Monte Carlo puisque
 - Schiff conduit à une formulation intégrale des propriétés radiatives
 - Capacité de la méthode à gérer les géométries complexes

Plan

1. Approximation de Schiff
2. Résolution de l'approximation de Schiff par Monte Carlo
 - 2.1 Sections efficaces
 - 2.2 Fonction de phase
3. Analyse de sensibilité paramétrique
4. Conclusion

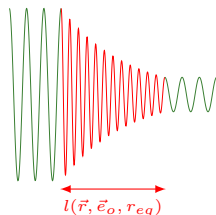
Approximation de Schiff

Aspect physique et conditions de validité



$l(\vec{r}, \vec{e}_o, r_{eq})$: Longueur de traversée au sein de la particule

$\mathcal{P}(\vec{e}_o, r_{eq})$: Surface projetée de la particule sur un plan perpendiculaire à la direction incidente



$x = \frac{2\pi \bar{r}_{eq}}{\lambda_e} \gg 1$: les images de l'optique géométrique sont applicables

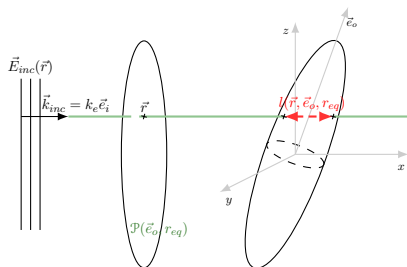
$|m_r - 1| \ll 1$: les réflexions et réfractions de la lumière incidente peuvent être négligées

Schiff L., 1956 *Physical Review* **104** 1481-1485

Van de Hulst H.C., 1957 *Light Scattering by Small Particles*

Approximation de Schiff

Formulation des sections efficaces



$l(\vec{r}, \vec{e}_o, r_{eq})$: Longueur de traversée au sein de la particule

$\mathcal{P}(\vec{e}_o, r_{eq})$: Surface projetée de la particule sur un plan perpendiculaire à la direction incidente

$$\hat{\sigma}_{ext} = 2 \int_{\mathcal{P}(\vec{e}_o, r_{eq})} 1 - e^{-k_e \kappa_r l(\vec{r}, \vec{e}_o, r_{eq})} \cos(k_e (n_r - 1) l(\vec{r}, \vec{e}_o, r_{eq})) d\vec{r}$$

$$\hat{\sigma}_{abs} = \int_{\mathcal{P}(\vec{e}_o, r_{eq})} 1 - e^{-2k_e \kappa_r l(\vec{r}, \vec{e}_o, r_{eq})} d\vec{r}$$

$$\hat{\sigma}_{sca} = \hat{\sigma}_{ext} - \hat{\sigma}_{abs}$$

Plan

1. Approximation de Schiff
2. Résolution de l'approximation de Schiff par Monte Carlo
 - 2.1 Sections efficaces
 - 2.2 Fonction de phase
3. Analyse de sensibilité paramétrique
4. Conclusion

Résolution de l'approximation de Schiff par Monte Carlo

Formulation des sections efficaces

Les solutions de l'approximation de Schiff sont des intégrales.

La méthode de **Monte Carlo** est choisie pour les résoudre en tenant compte de la double intégrations orientation/taille

Pour obtenir une expression statistique compatible avec Monte Carlo, on introduit une fonction densité de probabilité $p_{\vec{R}}$:

$$\hat{\sigma}_{ext} = \int_{\mathcal{P}(\vec{e}_o, r_{eq})} p_{\vec{R}} \underbrace{2 \left[1 - e^{-k_e \kappa_r l(\vec{r}, \vec{e}_o, r_{eq})} \cos(k_e (n_r - 1) l(\vec{r}, \vec{e}_o, r_{eq})) \right]}_{w_{ext}(\vec{r})} d\vec{r}$$

En tenant compte de la double intégrations orientation/taille :

$$\sigma_{ext} = \int_{4\pi} d\vec{e}_o p_{\vec{E}_o}(\vec{e}_o) \int_0^\infty dr_{eq} p_{R_{eq}}(r_{eq}) \int_{\mathcal{P}(\vec{e}_o, r_{eq})} d\vec{r} p_{\vec{R}} w_{ext}(\vec{r})$$

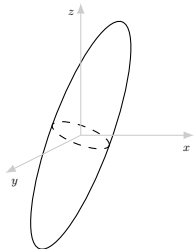
Résolution de l'approximation de Schiff par Monte Carlo

Formulation intégrales des sections efficaces

$$\sigma_{ext} = \int_{4\pi} d\vec{e}_o p_{\vec{E}_o}(\vec{e}_o) \int_0^\infty dr_{eq} p_{R_{eq}}(r_{eq}) \int_{\mathcal{P}(\vec{e}_o, r_{eq})} d\vec{r} p_{\vec{R}} w_{ext}(\vec{r})$$

Tirage aléatoire d'une orientation \vec{e}_o selon la fonction densité de probabilité isotrope

$$p_{\vec{E}_o}(\vec{e}_o) = \frac{1}{4\pi}$$



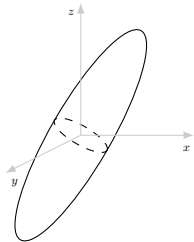
Résolution de l'approximation de Schiff par Monte Carlo

Formulation intégrales des sections efficaces

$$\sigma_{ext} = \int_{4\pi} d\vec{e}_o p_{\vec{E}_o}(\vec{e}_o) \int_0^\infty dr_{eq} p_{R_{eq}}(r_{eq}) \int_{\mathcal{P}(\vec{e}_o, r_{eq})} d\vec{r} p_{\vec{R}} w_{ext}(\vec{r})$$

Tirage aléatoire d'une orientation \vec{e}_o selon la fonction densité de probabilité isotrope

$$p_{\vec{E}_o}(\vec{e}_o) = \frac{1}{4\pi}$$



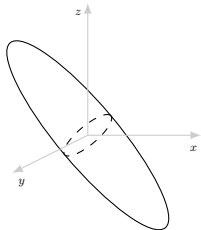
Résolution de l'approximation de Schiff par Monte Carlo

Formulation intégrales des sections efficaces

$$\sigma_{ext} = \int_{4\pi} d\vec{e}_o p_{\vec{E}_o}(\vec{e}_o) \int_0^\infty dr_{eq} p_{R_{eq}}(r_{eq}) \int_{\mathcal{P}(\vec{e}_o, r_{eq})} d\vec{r} p_{\vec{R}} w_{ext}(\vec{r})$$

Tirage aléatoire d'une orientation \vec{e}_o selon la fonction densité de probabilité isotrope

$$p_{\vec{E}_o}(\vec{e}_o) = \frac{1}{4\pi}$$



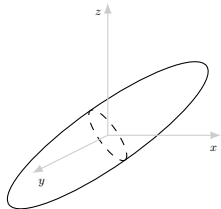
Résolution de l'approximation de Schiff par Monte Carlo

Formulation intégrales des sections efficaces

$$\sigma_{ext} = \int_{4\pi} d\vec{e}_o p_{\vec{E}_o}(\vec{e}_o) \int_0^\infty dr_{eq} p_{R_{eq}}(r_{eq}) \int_{\mathcal{P}(\vec{e}_o, r_{eq})} d\vec{r} p_{\vec{R}} w_{ext}(\vec{r})$$

Tirage aléatoire d'une orientation \vec{e}_o selon la fonction densité de probabilité isotrope

$$p_{\vec{E}_o}(\vec{e}_o) = \frac{1}{4\pi}$$



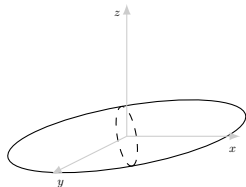
Résolution de l'approximation de Schiff par Monte Carlo

Formulation intégrales des sections efficaces

$$\sigma_{ext} = \int_{4\pi} d\vec{e}_o p_{\vec{E}_o}(\vec{e}_o) \int_0^\infty dr_{eq} p_{R_{eq}}(r_{eq}) \int_{\mathcal{P}(\vec{e}_o, r_{eq})} d\vec{r} p_{\vec{R}} w_{ext}(\vec{r})$$

Tirage aléatoire d'une orientation \vec{e}_o selon la fonction densité de probabilité isotrope

$$p_{\vec{E}_o}(\vec{e}_o) = \frac{1}{4\pi}$$



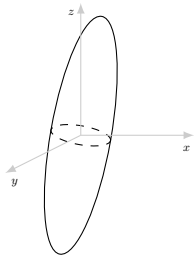
Résolution de l'approximation de Schiff par Monte Carlo

Formulation intégrales des sections efficaces

$$\sigma_{ext} = \int_{4\pi} d\vec{e}_o p_{\vec{E}_o}(\vec{e}_o) \int_0^\infty dr_{eq} p_{R_{eq}}(r_{eq}) \int_{\mathcal{P}(\vec{e}_o, r_{eq})} d\vec{r} p_{\vec{R}} w_{ext}(\vec{r})$$

Tirage aléatoire d'une orientation \vec{e}_o selon la fonction densité de probabilité isotrope

$$p_{\vec{E}_o}(\vec{e}_o) = \frac{1}{4\pi}$$



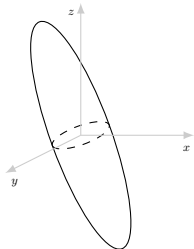
Résolution de l'approximation de Schiff par Monte Carlo

Formulation intégrales des sections efficaces

$$\sigma_{ext} = \int_{4\pi} d\vec{e}_o p_{\vec{E}_o}(\vec{e}_o) \int_0^\infty dr_{eq} p_{R_{eq}}(r_{eq}) \int_{\mathcal{P}(\vec{e}_o, r_{eq})} d\vec{r} p_{\vec{R}} w_{ext}(\vec{r})$$

Tirage aléatoire d'une orientation \vec{e}_o selon la fonction densité de probabilité isotrope

$$p_{\vec{E}_o}(\vec{e}_o) = \frac{1}{4\pi}$$



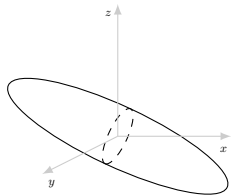
Résolution de l'approximation de Schiff par Monte Carlo

Formulation intégrales des sections efficaces

$$\sigma_{ext} = \int_{4\pi} d\vec{e}_o p_{\vec{E}_o}(\vec{e}_o) \int_0^\infty dr_{eq} p_{R_{eq}}(r_{eq}) \int_{\mathcal{P}(\vec{e}_o, r_{eq})} d\vec{r} p_{\vec{R}} w_{ext}(\vec{r})$$

Tirage aléatoire d'une orientation \vec{e}_o selon la fonction densité de probabilité isotrope

$$p_{\vec{E}_o}(\vec{e}_o) = \frac{1}{4\pi}$$



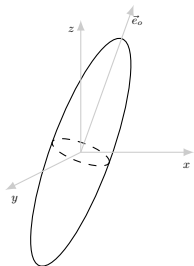
Résolution de l'approximation de Schiff par Monte Carlo

Formulation intégrales des sections efficaces

$$\sigma_{ext} = \int_{4\pi} d\vec{e}_o p_{\vec{E}_o}(\vec{e}_o) \int_0^\infty dr_{eq} p_{R_{eq}}(r_{eq}) \int_{\mathcal{P}(\vec{e}_o, r_{eq})} d\vec{r} p_{\vec{R}} w_{ext}(\vec{r})$$

Tirage aléatoire d'une orientation \vec{e}_o selon la fonction densité de probabilité isotrope

$$p_{\vec{E}_o}(\vec{e}_o) = \frac{1}{4\pi}$$



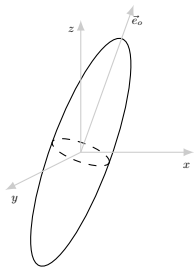
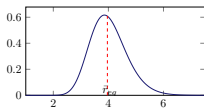
Résolution de l'approximation de Schiff par Monte Carlo

Formulation intégrales des sections efficaces

$$\sigma_{ext} = \int_{4\pi} d\vec{e}_o p_{\vec{E}_o}(\vec{e}_o) \int_0^\infty dr_{eq} p_{R_{eq}}(r_{eq}) \int_{\mathcal{P}(\vec{e}_o, r_{eq})} d\vec{r} p_{\vec{R}} w_{ext}(\vec{r})$$

Tirage aléatoire d'une taille r_{eq} selon la loi de probabilité log-normale

$$p_{R_{eq}}(r_{eq}) = \frac{1}{\sqrt{2\pi} r_{eq} \ln s} \exp \left[-\frac{(\ln r_{eq} - \ln \bar{r}_{eq})^2}{2 \ln^2 s} \right]$$



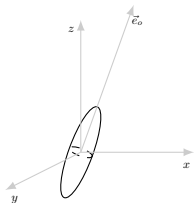
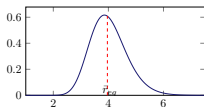
Résolution de l'approximation de Schiff par Monte Carlo

Formulation intégrales des sections efficaces

$$\sigma_{ext} = \int_{4\pi} d\vec{e}_o p_{\vec{E}_o}(\vec{e}_o) \int_0^\infty dr_{eq} p_{R_{eq}}(r_{eq}) \int_{\mathcal{P}(\vec{e}_o, r_{eq})} d\vec{r} p_{\vec{R}} w_{ext}(\vec{r})$$

Tirage aléatoire d'une taille r_{eq} selon la loi de probabilité log-normale

$$p_{R_{eq}}(r_{eq}) = \frac{1}{\sqrt{2\pi} r_{eq} \ln s} \exp \left[-\frac{(\ln r_{eq} - \ln \bar{r}_{eq})^2}{2 \ln^2 s} \right]$$



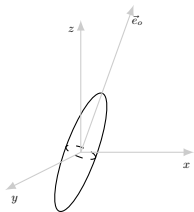
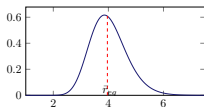
Résolution de l'approximation de Schiff par Monte Carlo

Formulation intégrales des sections efficaces

$$\sigma_{ext} = \int_{4\pi} d\vec{e}_o p_{\vec{E}_o}(\vec{e}_o) \int_0^\infty dr_{eq} p_{R_{eq}}(r_{eq}) \int_{\mathcal{P}(\vec{e}_o, r_{eq})} d\vec{r} p_{\vec{R}} w_{ext}(\vec{r})$$

Tirage aléatoire d'une taille r_{eq} selon la loi de probabilité log-normale

$$p_{R_{eq}}(r_{eq}) = \frac{1}{\sqrt{2\pi} r_{eq} \ln s} \exp \left[-\frac{(\ln r_{eq} - \ln \bar{r}_{eq})^2}{2 \ln^2 s} \right]$$



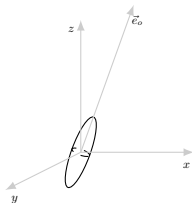
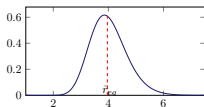
Résolution de l'approximation de Schiff par Monte Carlo

Formulation intégrales des sections efficaces

$$\sigma_{ext} = \int_{4\pi} d\vec{e}_o p_{\vec{E}_o}(\vec{e}_o) \int_0^\infty dr_{eq} p_{R_{eq}}(r_{eq}) \int_{\mathcal{P}(\vec{e}_o, r_{eq})} d\vec{r} p_{\vec{R}} w_{ext}(\vec{r})$$

Tirage aléatoire d'une taille r_{eq} selon la loi de probabilité log-normale

$$p_{R_{eq}}(r_{eq}) = \frac{1}{\sqrt{2\pi} r_{eq} \ln s} \exp \left[-\frac{(\ln r_{eq} - \ln \bar{r}_{eq})^2}{2 \ln^2 s} \right]$$



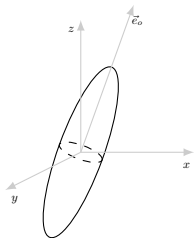
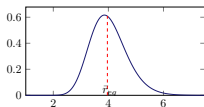
Résolution de l'approximation de Schiff par Monte Carlo

Formulation intégrales des sections efficaces

$$\sigma_{ext} = \int_{4\pi} d\vec{e}_o p_{\vec{E}_o}(\vec{e}_o) \int_0^\infty dr_{eq} p_{R_{eq}}(r_{eq}) \int_{\mathcal{P}(\vec{e}_o, r_{eq})} d\vec{r} p_{\vec{R}} w_{ext}(\vec{r})$$

Tirage aléatoire d'une taille r_{eq} selon la loi de probabilité log-normale

$$p_{R_{eq}}(r_{eq}) = \frac{1}{\sqrt{2\pi} r_{eq} \ln s} \exp \left[-\frac{(\ln r_{eq} - \ln \bar{r}_{eq})^2}{2 \ln^2 s} \right]$$



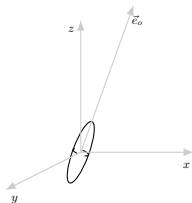
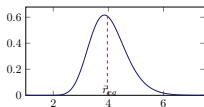
Résolution de l'approximation de Schiff par Monte Carlo

Formulation intégrales des sections efficaces

$$\sigma_{ext} = \int_{4\pi} d\vec{e}_o p_{\vec{E}_o}(\vec{e}_o) \int_0^\infty dr_{eq} p_{R_{eq}}(r_{eq}) \int_{\mathcal{P}(\vec{e}_o, r_{eq})} d\vec{r} p_{\vec{R}} w_{ext}(\vec{r})$$

Tirage aléatoire d'une taille r_{eq} selon la loi de probabilité log-normale

$$p_{R_{eq}}(r_{eq}) = \frac{1}{\sqrt{2\pi} r_{eq} \ln s} \exp \left[-\frac{(\ln r_{eq} - \ln \bar{r}_{eq})^2}{2 \ln^2 s} \right]$$



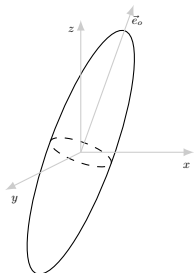
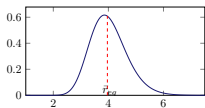
Résolution de l'approximation de Schiff par Monte Carlo

Formulation intégrales des sections efficaces

$$\sigma_{ext} = \int_{4\pi} d\vec{e}_o p_{\vec{E}_o}(\vec{e}_o) \int_0^\infty dr_{eq} p_{R_{eq}}(r_{eq}) \int_{\mathcal{P}(\vec{e}_o, r_{eq})} d\vec{r} p_{\vec{R}} w_{ext}(\vec{r})$$

Tirage aléatoire d'une taille r_{eq} selon la loi de probabilité log-normale

$$p_{R_{eq}}(r_{eq}) = \frac{1}{\sqrt{2\pi} r_{eq} \ln s} \exp \left[-\frac{(\ln r_{eq} - \ln \bar{r}_{eq})^2}{2 \ln^2 s} \right]$$



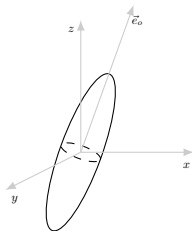
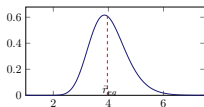
Résolution de l'approximation de Schiff par Monte Carlo

Formulation intégrales des sections efficaces

$$\sigma_{ext} = \int_{4\pi} d\vec{e}_o p_{\vec{E}_o}(\vec{e}_o) \int_0^\infty dr_{eq} p_{R_{eq}}(r_{eq}) \int_{\mathcal{P}(\vec{e}_o, r_{eq})} d\vec{r} p_{\vec{R}} w_{ext}(\vec{r})$$

Tirage aléatoire d'une taille r_{eq} selon la loi de probabilité log-normale

$$p_{R_{eq}}(r_{eq}) = \frac{1}{\sqrt{2\pi} r_{eq} \ln s} \exp \left[-\frac{(\ln r_{eq} - \ln \bar{r}_{eq})^2}{2 \ln^2 s} \right]$$



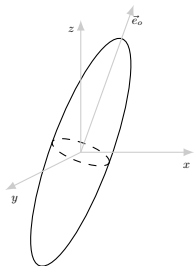
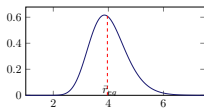
Résolution de l'approximation de Schiff par Monte Carlo

Formulation intégrales des sections efficaces

$$\sigma_{ext} = \int_{4\pi} d\vec{e}_o p_{\vec{E}_o}(\vec{e}_o) \int_0^\infty dr_{eq} p_{R_{eq}}(r_{eq}) \int_{\mathcal{P}(\vec{e}_o, r_{eq})} d\vec{r} p_{\vec{R}} w_{ext}(\vec{r})$$

Tirage aléatoire d'une taille r_{eq} selon la loi de probabilité log-normale

$$p_{R_{eq}}(r_{eq}) = \frac{1}{\sqrt{2\pi} r_{eq} \ln s} \exp \left[-\frac{(\ln r_{eq} - \ln \bar{r}_{eq})^2}{2 \ln^2 s} \right]$$



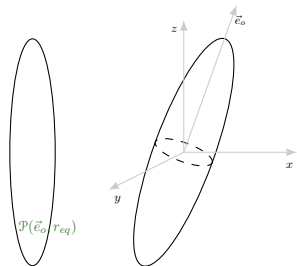
Résolution de l'approximation de Schiff par Monte Carlo

Formulation intégrales des sections efficaces

$$\sigma_{ext} = \int_{4\pi} d\vec{e}_o p_{\vec{E}_o}(\vec{e}_o) \int_0^\infty dr_{eq} p_{R_{eq}}(r_{eq}) \int_{\mathcal{P}(\vec{e}_o, r_{eq})} d\vec{r} p_{\vec{R}} w_{ext}(\vec{r})$$

Tirage aléatoire d'une position \vec{r} sur la surface projetée $\mathcal{P}(\vec{e}_o, r_{eq})$ selon la fonction de densité de probabilité uniforme

$$p_{\vec{R}} = \frac{1}{P(\vec{e}_o, r_{eq})}$$



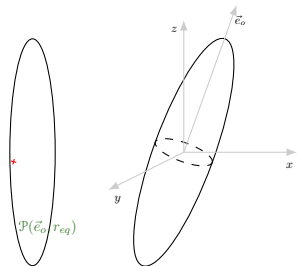
Résolution de l'approximation de Schiff par Monte Carlo

Formulation intégrales des sections efficaces

$$\sigma_{ext} = \int_{4\pi} d\vec{e}_o p_{\vec{E}_o}(\vec{e}_o) \int_0^\infty dr_{eq} p_{R_{eq}}(r_{eq}) \int_{\mathcal{P}(\vec{e}_o, r_{eq})} d\vec{r} p_{\vec{R}} w_{ext}(\vec{r})$$

Tirage aléatoire d'une position \vec{r} sur la surface projetée $\mathcal{P}(\vec{e}_o, r_{eq})$ selon la fonction de densité de probabilité uniforme

$$p_{\vec{R}} = \frac{1}{P(\vec{e}_o, r_{eq})}$$



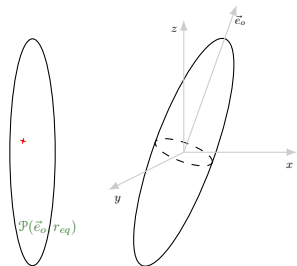
Résolution de l'approximation de Schiff par Monte Carlo

Formulation intégrales des sections efficaces

$$\sigma_{ext} = \int_{4\pi} d\vec{e}_o p_{\vec{E}_o}(\vec{e}_o) \int_0^\infty dr_{eq} p_{R_{eq}}(r_{eq}) \int_{\mathcal{P}(\vec{e}_o, r_{eq})} d\vec{r} p_{\vec{R}} w_{ext}(\vec{r})$$

Tirage aléatoire d'une position \vec{r} sur la surface projetée $\mathcal{P}(\vec{e}_o, r_{eq})$ selon la fonction de densité de probabilité uniforme

$$p_{\vec{R}} = \frac{1}{P(\vec{e}_o, r_{eq})}$$



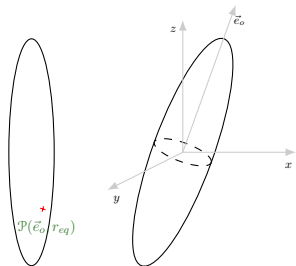
Résolution de l'approximation de Schiff par Monte Carlo

Formulation intégrales des sections efficaces

$$\sigma_{ext} = \int_{4\pi} d\vec{e}_o p_{\vec{E}_o}(\vec{e}_o) \int_0^\infty dr_{eq} p_{R_{eq}}(r_{eq}) \int_{\mathcal{P}(\vec{e}_o, r_{eq})} d\vec{r} p_{\vec{R}} w_{ext}(\vec{r})$$

Tirage aléatoire d'une position \vec{r} sur la surface projetée $\mathcal{P}(\vec{e}_o, r_{eq})$ selon la fonction de densité de probabilité uniforme

$$p_{\vec{R}} = \frac{1}{P(\vec{e}_o, r_{eq})}$$



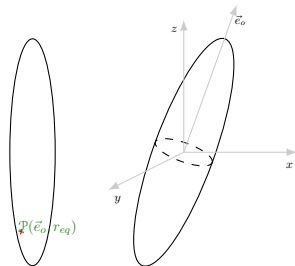
Résolution de l'approximation de Schiff par Monte Carlo

Formulation intégrales des sections efficaces

$$\sigma_{ext} = \int_{4\pi} d\vec{e}_o p_{\vec{E}_o}(\vec{e}_o) \int_0^\infty dr_{eq} p_{R_{eq}}(r_{eq}) \int_{\mathcal{P}(\vec{e}_o, r_{eq})} d\vec{r} p_{\vec{R}} w_{ext}(\vec{r})$$

Tirage aléatoire d'une position \vec{r} sur la surface projetée $\mathcal{P}(\vec{e}_o, r_{eq})$ selon la fonction de densité de probabilité uniforme

$$p_{\vec{R}} = \frac{1}{P(\vec{e}_o, r_{eq})}$$



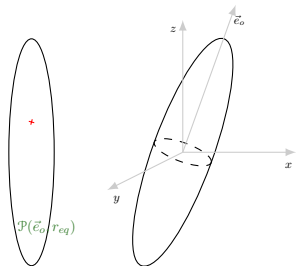
Résolution de l'approximation de Schiff par Monte Carlo

Formulation intégrales des sections efficaces

$$\sigma_{ext} = \int_{4\pi} d\vec{e}_o p_{\vec{E}_o}(\vec{e}_o) \int_0^\infty dr_{eq} p_{R_{eq}}(r_{eq}) \int_{\mathcal{P}(\vec{e}_o, r_{eq})} d\vec{r} p_{\vec{R}} w_{ext}(\vec{r})$$

Tirage aléatoire d'une position \vec{r} sur la surface projetée $\mathcal{P}(\vec{e}_o, r_{eq})$ selon la fonction de densité de probabilité uniforme

$$p_{\vec{R}} = \frac{1}{P(\vec{e}_o, r_{eq})}$$



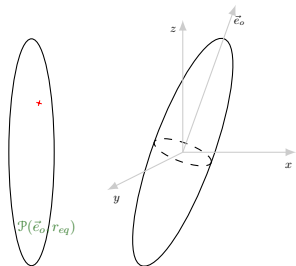
Résolution de l'approximation de Schiff par Monte Carlo

Formulation intégrales des sections efficaces

$$\sigma_{ext} = \int_{4\pi} d\vec{e}_o p_{\vec{E}_o}(\vec{e}_o) \int_0^\infty dr_{eq} p_{R_{eq}}(r_{eq}) \int_{\mathcal{P}(\vec{e}_o, r_{eq})} d\vec{r} p_{\vec{R}} w_{ext}(\vec{r})$$

Tirage aléatoire d'une position \vec{r} sur la surface projetée $\mathcal{P}(\vec{e}_o, r_{eq})$ selon la fonction de densité de probabilité uniforme

$$p_{\vec{R}} = \frac{1}{P(\vec{e}_o, r_{eq})}$$



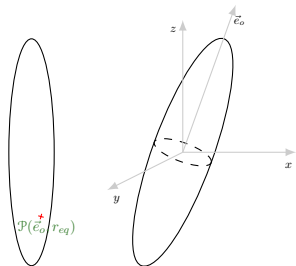
Résolution de l'approximation de Schiff par Monte Carlo

Formulation intégrales des sections efficaces

$$\sigma_{ext} = \int_{4\pi} d\vec{e}_o p_{\vec{E}_o}(\vec{e}_o) \int_0^\infty dr_{eq} p_{R_{eq}}(r_{eq}) \int_{\mathcal{P}(\vec{e}_o, r_{eq})} d\vec{r} p_{\vec{R}} w_{ext}(\vec{r})$$

Tirage aléatoire d'une position \vec{r} sur la surface projetée $\mathcal{P}(\vec{e}_o, r_{eq})$ selon la fonction de densité de probabilité uniforme

$$p_{\vec{R}} = \frac{1}{P(\vec{e}_o, r_{eq})}$$



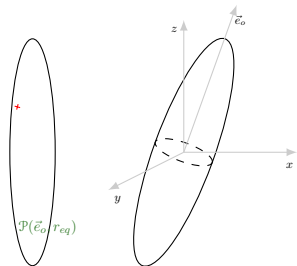
Résolution de l'approximation de Schiff par Monte Carlo

Formulation intégrales des sections efficaces

$$\sigma_{ext} = \int_{4\pi} d\vec{e}_o p_{\vec{E}_o}(\vec{e}_o) \int_0^\infty dr_{eq} p_{R_{eq}}(r_{eq}) \int_{\mathcal{P}(\vec{e}_o, r_{eq})} d\vec{r} p_{\vec{R}} w_{ext}(\vec{r})$$

Tirage aléatoire d'une position \vec{r} sur la surface projetée $\mathcal{P}(\vec{e}_o, r_{eq})$ selon la fonction de densité de probabilité uniforme

$$p_{\vec{R}} = \frac{1}{P(\vec{e}_o, r_{eq})}$$



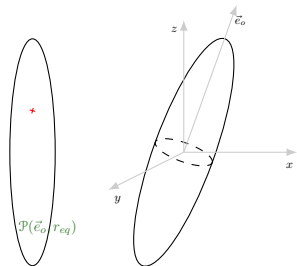
Résolution de l'approximation de Schiff par Monte Carlo

Formulation intégrales des sections efficaces

$$\sigma_{ext} = \int_{4\pi} d\vec{e}_o p_{\vec{E}_o}(\vec{e}_o) \int_0^\infty dr_{eq} p_{R_{eq}}(r_{eq}) \int_{\mathcal{P}(\vec{e}_o, r_{eq})} d\vec{r} p_{\vec{R}} w_{ext}(\vec{r})$$

Tirage aléatoire d'une position \vec{r} sur la surface projetée $\mathcal{P}(\vec{e}_o, r_{eq})$ selon la fonction de densité de probabilité uniforme

$$p_{\vec{R}} = \frac{1}{P(\vec{e}_o, r_{eq})}$$



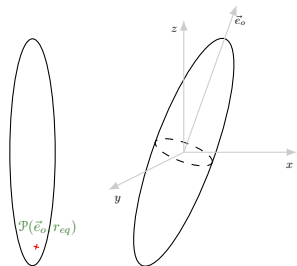
Résolution de l'approximation de Schiff par Monte Carlo

Formulation intégrales des sections efficaces

$$\sigma_{ext} = \int_{4\pi} d\vec{e}_o p_{\vec{E}_o}(\vec{e}_o) \int_0^\infty dr_{eq} p_{R_{eq}}(r_{eq}) \int_{\mathcal{P}(\vec{e}_o, r_{eq})} d\vec{r} p_{\vec{R}} w_{ext}(\vec{r})$$

Tirage aléatoire d'une position \vec{r} sur la surface projetée $\mathcal{P}(\vec{e}_o, r_{eq})$ selon la fonction de densité de probabilité uniforme

$$p_{\vec{R}} = \frac{1}{P(\vec{e}_o, r_{eq})}$$



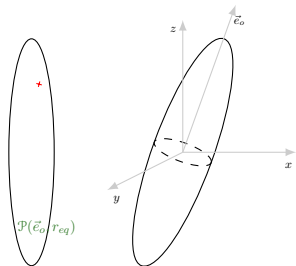
Résolution de l'approximation de Schiff par Monte Carlo

Formulation intégrales des sections efficaces

$$\sigma_{ext} = \int_{4\pi} d\vec{e}_o p_{\vec{E}_o}(\vec{e}_o) \int_0^\infty dr_{eq} p_{R_{eq}}(r_{eq}) \int_{\mathcal{P}(\vec{e}_o, r_{eq})} d\vec{r} p_{\vec{R}} w_{ext}(\vec{r})$$

Tirage aléatoire d'une position \vec{r} sur la surface projetée $\mathcal{P}(\vec{e}_o, r_{eq})$ selon la fonction de densité de probabilité uniforme

$$p_{\vec{R}} = \frac{1}{P(\vec{e}_o, r_{eq})}$$



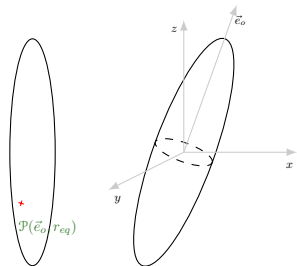
Résolution de l'approximation de Schiff par Monte Carlo

Formulation intégrales des sections efficaces

$$\sigma_{ext} = \int_{4\pi} d\vec{e}_o p_{\vec{E}_o}(\vec{e}_o) \int_0^\infty dr_{eq} p_{R_{eq}}(r_{eq}) \int_{\mathcal{P}(\vec{e}_o, r_{eq})} d\vec{r} p_{\vec{R}} w_{ext}(\vec{r})$$

Tirage aléatoire d'une position \vec{r} sur la surface projetée $\mathcal{P}(\vec{e}_o, r_{eq})$ selon la fonction de densité de probabilité uniforme

$$p_{\vec{R}} = \frac{1}{P(\vec{e}_o, r_{eq})}$$



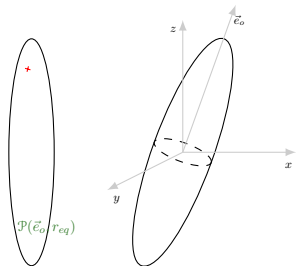
Résolution de l'approximation de Schiff par Monte Carlo

Formulation intégrales des sections efficaces

$$\sigma_{ext} = \int_{4\pi} d\vec{e}_o p_{\vec{E}_o}(\vec{e}_o) \int_0^\infty dr_{eq} p_{R_{eq}}(r_{eq}) \int_{\mathcal{P}(\vec{e}_o, r_{eq})} d\vec{r} p_{\vec{R}} w_{ext}(\vec{r})$$

Tirage aléatoire d'une position \vec{r} sur la surface projetée $\mathcal{P}(\vec{e}_o, r_{eq})$ selon la fonction de densité de probabilité uniforme

$$p_{\vec{R}} = \frac{1}{P(\vec{e}_o, r_{eq})}$$



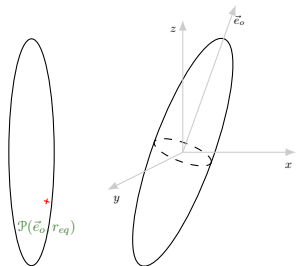
Résolution de l'approximation de Schiff par Monte Carlo

Formulation intégrales des sections efficaces

$$\sigma_{ext} = \int_{4\pi} d\vec{e}_o p_{\vec{E}_o}(\vec{e}_o) \int_0^\infty dr_{eq} p_{R_{eq}}(r_{eq}) \int_{\mathcal{P}(\vec{e}_o, r_{eq})} d\vec{r} p_{\vec{R}} w_{ext}(\vec{r})$$

Tirage aléatoire d'une position \vec{r} sur la surface projetée $\mathcal{P}(\vec{e}_o, r_{eq})$ selon la fonction de densité de probabilité uniforme

$$p_{\vec{R}} = \frac{1}{P(\vec{e}_o, r_{eq})}$$



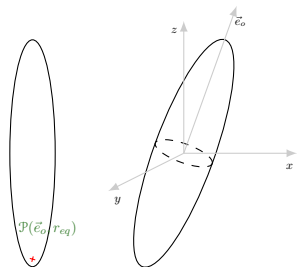
Résolution de l'approximation de Schiff par Monte Carlo

Formulation intégrales des sections efficaces

$$\sigma_{ext} = \int_{4\pi} d\vec{e}_o p_{\vec{E}_o}(\vec{e}_o) \int_0^\infty dr_{eq} p_{R_{eq}}(r_{eq}) \int_{\mathcal{P}(\vec{e}_o, r_{eq})} d\vec{r} p_{\vec{R}} w_{ext}(\vec{r})$$

Tirage aléatoire d'une position \vec{r} sur la surface projetée $\mathcal{P}(\vec{e}_o, r_{eq})$ selon la fonction de densité de probabilité uniforme

$$p_{\vec{R}} = \frac{1}{P(\vec{e}_o, r_{eq})}$$



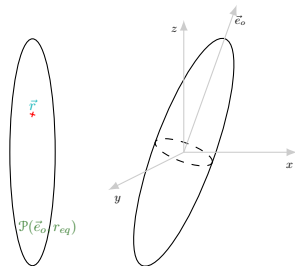
Résolution de l'approximation de Schiff par Monte Carlo

Formulation intégrales des sections efficaces

$$\sigma_{ext} = \int_{4\pi} d\vec{e}_o p_{\vec{E}_o}(\vec{e}_o) \int_0^\infty dr_{eq} p_{R_{eq}}(r_{eq}) \int_{\mathcal{P}(\vec{e}_o, r_{eq})} d\vec{r} p_{\vec{R}} w_{ext}(\vec{r})$$

Tirage aléatoire d'une position \vec{r} sur la surface projetée $\mathcal{P}(\vec{e}_o, r_{eq})$ selon la fonction de densité de probabilité uniforme

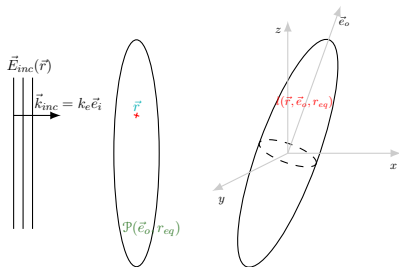
$$p_{\vec{R}} = \frac{1}{P(\vec{e}_o, r_{eq})}$$



Résolution de l'approximation de Schiff par Monte Carlo

Formulation intégrales des sections efficaces

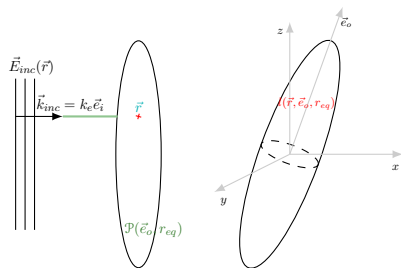
$$\sigma_{ext} = \int_{4\pi} d\vec{e}_o p_{\vec{E}_o}(\vec{e}_o) \int_0^\infty dr_{eq} p_{R_{eq}}(r_{eq}) \int_{\mathcal{P}(\vec{e}_o, r_{eq})} d\vec{r} p_{\vec{R}} w_{ext}(\vec{r})$$



Résolution de l'approximation de Schiff par Monte Carlo

Formulation intégrales des sections efficaces

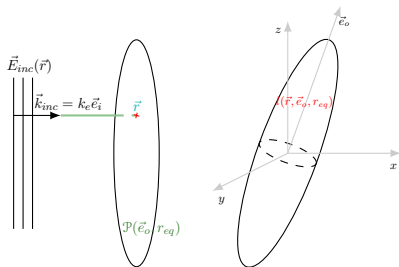
$$\sigma_{ext} = \int_{4\pi} d\vec{e}_o p_{\vec{E}_o}(\vec{e}_o) \int_0^\infty dr_{eq} p_{R_{eq}}(r_{eq}) \int_{\mathcal{P}(\vec{e}_o, r_{eq})} d\vec{r} p_{\vec{R}} w_{ext}(\vec{r})$$



Résolution de l'approximation de Schiff par Monte Carlo

Formulation intégrales des sections efficaces

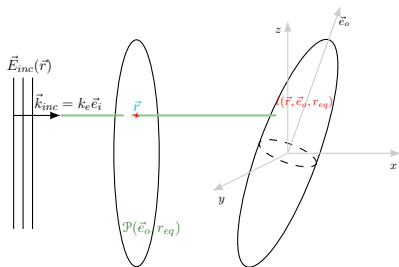
$$\sigma_{ext} = \int_{4\pi} d\vec{e}_o p_{\vec{E}_o}(\vec{e}_o) \int_0^\infty dr_{eq} p_{R_{eq}}(r_{eq}) \int_{\mathcal{P}(\vec{e}_o, r_{eq})} d\vec{r} p_{\vec{R}} w_{ext}(\vec{r})$$



Résolution de l'approximation de Schiff par Monte Carlo

Formulation intégrales des sections efficaces

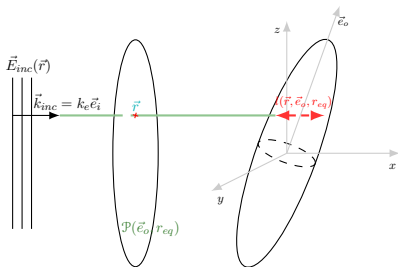
$$\sigma_{ext} = \int_{4\pi} d\vec{e}_o p_{\vec{E}_o}(\vec{e}_o) \int_0^\infty dr_{eq} p_{R_{eq}}(r_{eq}) \int_{\mathcal{P}(\vec{e}_o, r_{eq})} d\vec{r} p_{\vec{R}} w_{ext}(\vec{r})$$



Résolution de l'approximation de Schiff par Monte Carlo

Formulation intégrales des sections efficaces

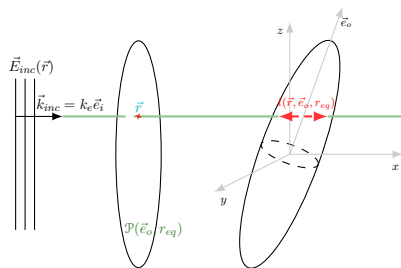
$$\sigma_{ext} = \int_{4\pi} d\vec{e}_o p_{\vec{E}_o}(\vec{e}_o) \int_0^\infty dr_{eq} p_{R_{eq}}(r_{eq}) \int_{\mathcal{P}(\vec{e}_o, r_{eq})} d\vec{r} p_{\vec{R}} w_{ext}(\vec{r})$$



Résolution de l'approximation de Schiff par Monte Carlo

Formulation intégrales des sections efficaces

$$\sigma_{ext} = \int_{4\pi} d\vec{e}_o p_{\vec{E}_o}(\vec{e}_o) \int_0^\infty dr_{eq} p_{R_{eq}}(r_{eq}) \int_{\mathcal{P}(\vec{e}_o, r_{eq})} d\vec{r} p_{\vec{R}} w_{ext}(\vec{r})$$



Résolution de l'approximation de Schiff par Monte Carlo

Formulation intégrales des sections efficaces

Généralisation :

$$\sigma = \int_{4\pi} d\vec{e}_o p_{\vec{e}_o}(\vec{e}_o) \int_0^\infty dr_{eq} p_{R_{eq}}(r_{eq}) \int_{\mathcal{P}(\vec{e}_o, r_{eq})} d\vec{r} p_{\vec{R}} w(\vec{r})$$

$$w_{ext} = 2P(\vec{e}_o, r_{eq}) \left[1 - e^{-k_e \kappa_r l(\vec{r}, \vec{e}_o, r_{eq})} \cos(k_e (n_r - 1) l(\vec{r}, \vec{e}_o, r_{eq})) \right]$$

$$w_{abs} = P(\vec{e}_o, r_{eq}) \left[1 - e^{-2k_e \kappa_r l(\vec{r}, \vec{e}_o, r_{eq})} \right]$$

$$w_{sca} = w_{ext} - w_{abs}$$

Algorithme :

Tirage de \vec{e}_o

Tirage de r_{eq}

Tirage de \vec{r}

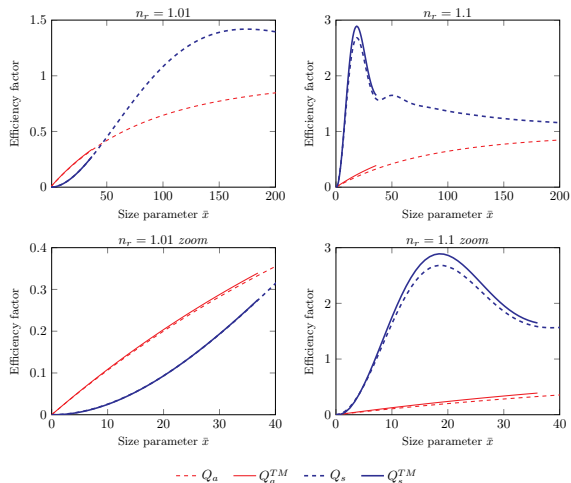
Calcul de w_i

N nombre de réalisation de l'algorithme

Estimation des sections efficaces σ :

$$\sigma \approx \frac{1}{N} \sum_{i=1}^N w_i \pm \sqrt{\frac{1}{N} \left[\sum_{i=1}^N w_i^2 - \bar{\sigma}^2 \right]}$$

Sections efficaces - particule sphéroïdale



Absorption

Scattering

--- Schiff

— T-Matrix

Paramètres :

$$\lambda_e = 0.45 \mu\text{m}$$

$$\kappa_r = 4.10^{-3}$$

$$s = 1.18$$

$$R = 0.837$$

$$r_{eq} = [1, 15] \mu\text{m}$$

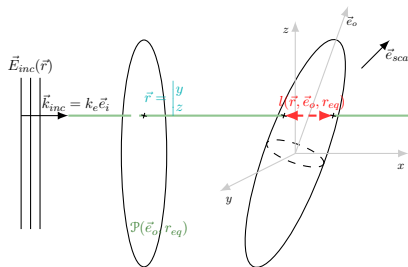
$$N = 10^6 \text{ réalisations}$$

$$\text{Erreur Num.} \leq 0.2\%$$

Fonction de phase

Fonction de phase :

$$p(\vec{e}_{sca} | \vec{e}_{inc}) = \frac{W_{sca}}{\sigma_{sca}}$$



Petit angles de diffusion $\theta_{sca} < \theta_l$:

$$\hat{W}_{sca} = \left| \int_{\mathcal{P}(\vec{e}_o, r_{eq})} \frac{k_e}{2\pi} e^{ik_e \theta_{sca} (y \cos \phi_{sca} + z \sin \phi_{sca})} \underbrace{\left[1 - e^{-ik_e (m_r - 1) l(\vec{r}, \vec{e}_o, r_{eq})} \right]}_{f(\vec{r})} d\vec{r} \right|^2$$

Grand angles de diffusion $\theta_{sca} > \theta_l$:

$$\hat{W}_{sca} = \frac{r}{\sin^n(\theta_{sca}/2)} \frac{1 + \cos^2(\theta_{sca})}{2}$$

Fonction de phase

$$\hat{W}_{sca} = \left| \int_{\mathcal{P}(\vec{e}_o, r_{eq})} f(\vec{r}) d\vec{r} \right|^2 = \mathcal{R}e^2 \int_{\mathcal{P}} f(\vec{r}) d\vec{r} + \mathcal{I}m^2 \int_{\mathcal{P}} f(\vec{r}) d\vec{r}$$

En utilisant le fait que

$$\begin{aligned} \mathcal{R}e^2 \int_{\mathcal{P}} f(\vec{r}) d\vec{r} &= \mathcal{R}e \left(\int_{\mathcal{P}} f(\vec{r}_1) d\vec{r}_1 \right) \mathcal{R}e \left(\int_{\mathcal{P}} f(\vec{r}_2) d\vec{r}_2 \right) \\ &= \int_{\mathcal{P}} \mathcal{R}e(f(\vec{r}_1)) d\vec{r}_1 \int_{\mathcal{P}} \mathcal{R}e(f(\vec{r}_2)) d\vec{r}_2 \\ &= \int_{\mathcal{P}} d\vec{r}_1 \int_{\mathcal{P}} d\vec{r}_2 \mathcal{R}e(f(\vec{r}_1)) \mathcal{R}e(f(\vec{r}_2)) \end{aligned}$$

et en procédant de même pour la partie imaginaire, on obtient

$$\hat{W}_{sca} = \int_{\mathcal{P}} d\vec{r}_1 \int_{\mathcal{P}} d\vec{r}_2 [\mathcal{R}e f(\vec{r}_1) \mathcal{R}e f(\vec{r}_2) + \mathcal{I}m f(\vec{r}_1) \mathcal{I}m f(\vec{r}_2)]$$

Section efficace différentielle de diffusion

$$\hat{W}_{sca} = \int_{\mathcal{P}} d\vec{r}_1 \int_{\mathcal{P}} d\vec{r}_2 [\text{Re}f(\vec{r}_1)\text{Re}f(\vec{r}_2) + \text{Im}f(\vec{r}_1)\text{Im}f(\vec{r}_2)]$$

En introduisant la densité de probabilité uniforme $p_{R_1} = p_{R_2} = \frac{1}{\mathcal{P}(\vec{e}_o, r_{eq})}$:

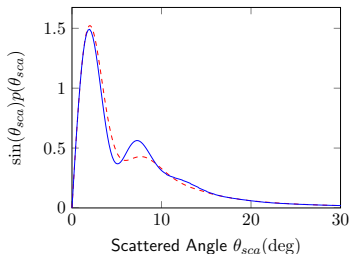
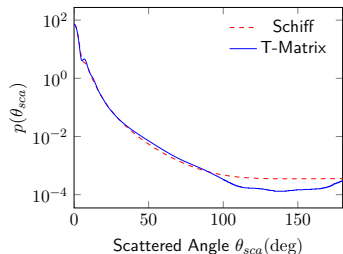
$$\hat{W}_{sca} = \int_{\mathcal{P}} d\vec{r}_1 p_{R_1} \int_{\mathcal{P}} d\vec{r}_2 p_{R_2} \underbrace{\frac{\text{Re}f(\vec{r}_1)\text{Re}f(\vec{r}_2) + \text{Im}f(\vec{r}_1)\text{Im}f(\vec{r}_2)}{p_{R_1} p_{R_2}}}_{w(\vec{r}_1, \vec{r}_2)}$$

et en tenant compte de la double intégrations **orientation**/**taille** :

$$W_{sca} = \int_{4\pi} d\vec{e}_o p_{\vec{E}_o}(\vec{e}_o) \int_0^\infty dr_{eq} p_{R_{eq}}(r_{eq}) \int_{\mathcal{P}(\vec{e}_o, r_{eq})} d\vec{r}_1 p_{R_1} \int_{\mathcal{P}(\vec{e}_o, r_{eq})} d\vec{r}_2 p_{R_2} w(\vec{r}_1, \vec{r}_2)$$

Section efficace différentielle - particule cylindrique

Comparaison Schiff's approximation - T-Matrix



Paramètres :

$$\lambda_e = 0.750 \mu m$$

$$n_r = 1.08$$

$$\kappa_r = 4.10^{-3}$$

$$s = 1.18$$

$$R = 0.837$$

$$r_{eq} = 3.963 \mu m$$

$$\theta_l = 15.4$$

$$N = 10^6 \text{ réalisations}$$

$$\text{Num. error} \leq 5\%$$

T-Matrix code : <http://www.giss.nasa.gov/staff/mmishchenko/>

Plan

1. Approximation de Schiff
2. Résolution de l'approximation de Schiff par Monte Carlo
 - 2.1 Sections efficaces
 - 2.2 Fonction de phase
3. Analyse de sensibilité paramétrique
4. Conclusion

Sensibilités

$$\sigma = \int_{4\pi} d\vec{e}_o p_{\vec{E}_o}(\vec{e}_o) \int_0^\infty dr_{eq} p_{R_{eq}}(r_{eq}) \int_{\mathcal{P}(\vec{e}_o, r_{eq})} d\vec{r} p_{\vec{R}} w$$

$$\partial_\pi \sigma = \partial_\pi \cdot \left[\int_{4\pi} d\vec{e}_o p_{\vec{E}_o}(\vec{e}_o) \int_0^\infty dr_{eq} p_{R_{eq}}(r_{eq}) \int_{\mathcal{P}(\vec{e}_o, r_{eq})} d\vec{r} p_{\vec{R}} w(\pi) \right]$$

$$\partial_\pi \sigma = \int_{4\pi} d\vec{e}_o p_{\vec{E}_o}(\vec{e}_o) \int_0^\infty dr_{eq} p_{R_{eq}}(r_{eq}) \int_{\mathcal{P}(\vec{e}_o, r_{eq})} d\vec{r} p_{\vec{R}} \partial_\pi w(\pi)$$

Notre algorithme de Monte Carlo estime simultanément les trois sections efficaces et leurs dérivées par rapport au paramètre $\pi = \{\lambda_e, n_r, \kappa_r\}$:

- avec la même formulation intégrale \equiv même algorithme \equiv même procédure d'échantillonnage
- sans augmentation significative du temps de calcul numérique

Conclusion et Perspectives

Conclusion

- Approximation de Schiff validée avec T-Matrice
- Le même algorithme de Monte Carlo estime $\sigma_{abs}, \sigma_{sca}, \sigma_{ext}$, leurs sensibilités à λ_e, κ_r, n_r et les incertitudes associées avec les temps de calcul suivant :
Cylindre : 13s Sphéroïde : 8s Incertitude $\leq 0.2\%$
- Application de l'approximation de Schiff à des géométries complexes (projet IDEX Algue) en collaboration avec une entreprise d'ingénierie informatique Meso-Star

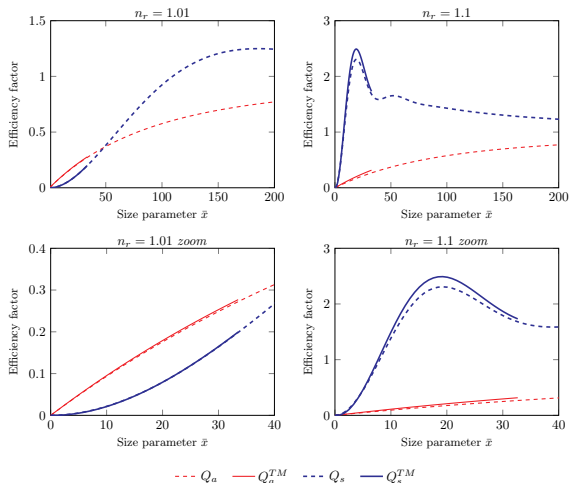
Perspectives

- Résolution des équations de Maxwell en utilisant le formalisme vectoriel

EDStar : <http://edstar.lmd.jussieu.fr/>

Merci pour votre attention

Sections efficaces - particule cylindrique



Absorption

Diffusion

- - - - Schiff

— T-Matrix

Paramètres :

$$\lambda_e = 0.45 \mu\text{m}$$

$$\kappa_T = 4.10^{-3}$$

$$s = 1.18$$

$$R = 0.837$$

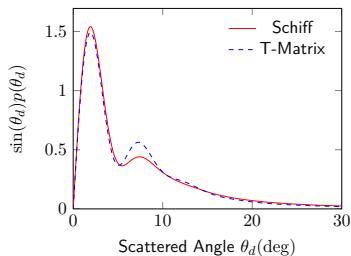
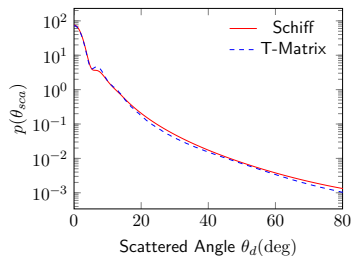
$$r_{eq} = [1, 15] \mu\text{m}$$

$$N = 10^6 \text{ réalisations}$$

$$\text{Erreur Num.} \leq 0.2\%$$

Section efficace différentielle - particule sphéroïdale

Comparaison Schiff's approximation - T-Matrix



Paramètres :

$$\lambda_e = 0.7 \mu m$$

$$n_r = 1.08$$

$$\kappa_r = 4.10 \cdot 10^{-3}$$

$$s = 1.18$$

$$R = 0.837$$

$$r_{eq} = 3.963 \mu m$$

$$\theta_l = 14$$

$$r = 5.85 \cdot 10^{-14}$$

$$n = 3.39$$

Analyse de sensibilité - validation

